

$^{150}\text{Nd}(\text{<sup>36</sup>S},\text{4n}\gamma):\text{delayed } \gamma$     **1988Ch27,2003Pa39**

Type	Author	Citation	History Literature Cutoff Date
Full Evaluation	Balraj Singh	ENSDF	11-Jul-2022

Delayed  $\gamma$  rays from 150-ns isomer.

[1988Ch27](#): E=160 MeV. Measured  $\gamma$ ,  $\gamma\gamma$ ,  $\gamma\gamma(\theta)$  (DCO at  $\theta=35^\circ$  and  $90^\circ$ ). Decay scheme of the 150-ns isomer in  $^{182}\text{Os}$  is established.

[2003Pa39](#): measured  $E\gamma$ ,  $I\gamma$ ,  $\gamma\gamma$ . Bands observed based on 150-ns isomer. The authors mention that details of this experiment are to be published (ref. 10 in paper).

[1991Br25](#): measurement of static Q of the  $25^+$  isomer by observation of time-dependent quadrupole interaction pattern of the  $\gamma$  radiation from the isomer implanted in a single crystal.

[1989Al19](#): measurement of g factor of the  $25^+$  isomer by  $\gamma(\theta,\text{H},\text{t})$ .

[1990Gi07](#):  $^{154}\text{Sm}(\text{<sup>28</sup>Si},\text{X})$  and  $^{166}\text{Er}(\text{<sup>16</sup>O},\text{X})$ .  $\gamma$ -ray multiplicity for the compound nucleus  $^{182}\text{Os}$  is studied in this work.

See [1994Ho10](#) for calculation of yrast states using tilted-axis approach.

All data are from [1988Ch27](#), except those for the bands built on the 7049,  $25^+$  isomer. Full details of data from [2003Pa39](#) are to be published as stated by the authors.

 $^{182}\text{Os}$  Levels

E(level)	J $^\pi$ <sup>†</sup>	T <sub>1/2</sub>	Comments
0.0 <sup>@</sup>	0 <sup>+</sup>		
127.1 <sup>@</sup> 2	2 <sup>+</sup>		
400.2 <sup>@</sup> 3	4 <sup>+</sup>		
794.0 <sup>@</sup> 4	6 <sup>+</sup>		
1277.7 <sup>@</sup> 4	8 <sup>+</sup>		
1811.7 <sup>@</sup> 5	10 <sup>+</sup>		
1831.6 <sup>c</sup> 11	8 <sup>-</sup>	0.78 ms 7 %IT=100	T <sub>1/2</sub> : from $\gamma(t)$ ( <a href="#">1966Bu08</a> ). Deexciting transitions are not reported by <a href="#">1988Ch27</a> .
2013.1 <sup>c</sup> 11	9 <sup>-</sup>		
2112.4 <sup>&amp;</sup> 6	8 <sup>+</sup>		
2219.2 <sup>c</sup> 11	10 <sup>-</sup>		
2245.5 <sup>&amp;</sup> 6	9 <sup>+</sup>		
2345.7 <sup>@</sup> 5	12 <sup>+</sup>		
2374.6 <sup>&amp;</sup> 5	10 <sup>+</sup>		
2448.1 <sup>c</sup> 10	11 <sup>-</sup>		
2526.1 <sup>&amp;</sup> 5	11 <sup>+</sup>		
2671.7 <sup>&amp;</sup> 5	12 <sup>+</sup>		
2699.2 <sup>c</sup> 11	12 <sup>-</sup>		
2840.3 <sup>@</sup> 5	14 <sup>+</sup>		
2869.3 <sup>&amp;</sup> 5	13 <sup>+</sup>		
2971.1 <sup>c</sup> 11	13 <sup>-</sup>		
3072.6 <sup>&amp;</sup> 5	14 <sup>+</sup>		
3290.8 <sup>g</sup> 7	14 <sup>+</sup>		
3303.6 <sup>&amp;</sup> 6	15 <sup>+</sup>		
3319.7 <sup>@</sup> 6	16 <sup>+</sup>		
3617.2 <sup>&amp;</sup> 5	16 <sup>+</sup>		
3643.6 9	(13 <sup>-</sup> )		K $^\pi=13^-$ . Configuration= $\nu 7/2[514]\otimes\nu 9/2[624]\otimes\pi 9/2[514]\otimes\pi 1/2[541]$ ( <a href="#">1988Ch27</a> ).
3840.1 <sup>&amp;</sup> 8	17 <sup>+</sup>		
3850.9 <sup>g</sup> 7	16 <sup>+</sup>		
3856.7 <sup>@</sup> 6	18 <sup>+</sup>		

Continued on next page (footnotes at end of table)

$^{150}\text{Nd}(^{36}\text{S},4\text{n}\gamma):\text{delayed } \gamma \quad \textbf{1988Ch27,2003Pa39 (continued)}$  $^{182}\text{Os}$  Levels (continued)

E(level)	$J^{\pi\ddagger}$	T <sub>1/2</sub>	Comments
3915.3 7	15(+)		
3929.5 <sup>f</sup> 6	15(+)		
3968.9 <sup>b</sup> 7	14(−)		
4157.1 6	16(+)		
4166.0 <sup>e</sup> 6	16 <sup>+</sup>		
4210.5 <sup>b</sup> 7	15(−)		
4274.8 <sup>&amp;</sup> 6	18 <sup>+</sup>		
4369.8 <sup>a</sup> 7	16(+)	6 ns 2	T <sub>1/2</sub> : $\gamma\gamma(t)$ ( <a href="#">1988Ch27</a> ).
4425.3 <sup>f</sup> 6	17(+)		
4437.0 <sup>d</sup> 6	17		
4468.5 <sup>g</sup> 7	18 <sup>+</sup>		
4475.7 <sup>&amp;</sup> 9	19 <sup>+</sup>		
4480.0@ 6	20 <sup>+</sup>		
4515.8 <sup>b</sup> 7	16(−)		
4682.1 <sup>a</sup> 7	17(+)		
4712.9 <sup>e</sup> 6	18(+)		
4760.8 7	18		
4879.1 <sup>b</sup> 7	17(−)		
5004.8 <sup>a</sup> 7	18(+)		
5023.9 <sup>&amp;</sup> 6	20 <sup>+</sup>		
5024.0 <sup>f</sup> 6	19(+)		
5062.9 <sup>d</sup> 6	19		
5142.1 <sup>g</sup> 7	20 <sup>+</sup>		
5180.3 7	18		
5192.0@ 6	22 <sup>+</sup>		
5204.7 <sup>&amp;</sup> 11	21 <sup>+</sup>		
5332.4 <sup>a</sup> 6	19(+)		
5357.8 <sup>e</sup> 6	20(+)		
5485.5 7	19		
5674.2 <sup>d</sup> 6	21		
5713.2 <sup>f</sup> 6	21(+)		
5777.6 6	20(+)		$K^\pi=20^+$ , configuration= $\nu 7/2[503]\otimes\nu 9/2[624]\otimes\nu 7/2[514]\otimes\nu 7/2[633]\otimes\pi 9/2[514]\otimes\pi 1/2[541]$ ( <a href="#">1988Ch27</a> ).
5809.9 <sup>&amp;</sup> 8	22 <sup>+</sup>		
5982.9 6	21(+)		$K^\pi=21^+$ , configuration= $\nu 9/2[505]\otimes\nu 9/2[624]\otimes\nu 7/2[514]\otimes\nu 7/2[633]\otimes\pi 9/2[514]\otimes\pi 1/2[541]$ ( <a href="#">1988Ch27</a> ).
5987.5@ 7	24 <sup>+</sup>		
6016.7 <sup>&amp;</sup> 12	23 <sup>+</sup>		
6088.3 <sup>e</sup> 6	22(+)		
6281.4 6	22(+)		$K^\pi=22^+$ , configuration= $\nu 9/2[505]\otimes\nu 11/2[615]\otimes\nu 7/2[514]\otimes\nu 7/2[633]\otimes\pi 9/2[514]\otimes\pi 1/2[541]$ ( <a href="#">1988Ch27</a> ).
6322.2 <sup>d</sup> 6	23		
6483.2 <sup>f</sup> 6	23(+)		
6543.4 6	23(+)		$K^\pi=23^+$ , configuration= $\nu 9/2[505]\otimes\nu 11/2[615]\otimes\nu 7/2[514]\otimes\nu 7/2[633]\otimes\pi 9/2[514]\otimes\pi 3/2[532]$ ( <a href="#">1988Ch27</a> ).
6861.6 <sup>e</sup> 6	24(+)		
6900.3 7	24		
7049.1 <sup>#h</sup> 6	25 <sup>(+)</sup> <sup>‡</sup>	150 ns 10	Q=4.2 2 ( <a href="#">1991Br25</a> ); g=+0.425 8 ( <a href="#">1989Al19</a> )

Continued on next page (footnotes at end of table)

[150Nd\( \${}^36\text{S},4n\gamma\$ \):delayed  \$\gamma\$](#)     **1988Ch27,2003Pa39 (continued)**[182Os Levels \(continued\)](#)

E(level)	J $^\pi$ <sup>†</sup>	Comments
7485 <sup>#i</sup>	2	26 <sup>+‡</sup>
7925 <sup>#h</sup>	2	27 <sup>+‡</sup>
8346 <sup>#i</sup>	2	28 <sup>+‡</sup>
8699 <sup>#h</sup>	2	29 <sup>+‡</sup>
9103 <sup>#i</sup>	2	30 <sup>+‡</sup>
9596 <sup>#h</sup>	2	31 <sup>+‡</sup>
9939 <sup>#i</sup>	2	32 <sup>+‡</sup>
10509 <sup>#h</sup>	2	33 <sup>+‡</sup>
10780 <sup>#i</sup>	2	34 <sup>+‡</sup>
11307 <sup>#h</sup>	2	35 <sup>+‡</sup>
11560 <sup>#i</sup>	2	36 <sup>+‡</sup>
12098 <sup>#h</sup>	2	(37 <sup>+‡</sup> )
12371 <sup>#i</sup>	2	(38 <sup>+‡</sup> )

<sup>†</sup> From [1988Ch27](#). The authors assume  $\Delta J=2$ , quadrupole transitions as E2 and  $\Delta J=1$ , dipole+quadrupole transitions as M1+E2 in making these assignments. The assignments in Adopted Levels are consistent but many are placed in parentheses there.

<sup>‡</sup> From [2003Pa39](#).

<sup>#</sup> Uncertainty of 2 keV assigned by the evaluator.

<sup>@</sup> Band(A):  $K^\pi=0^+$ , g.s. band.

<sup>&</sup> Band(B):  $K^\pi=2^+$  band.

<sup>a</sup> Band(C):  $K^\pi=16^+$  band. Configuration= $\nu 7/2[514] \otimes \nu 9/2[624] \otimes \pi 5/2[402] \otimes \pi 11/2[505]$  or  $\nu 9/2[505] \otimes \nu 9/2[624] \otimes \nu 7/2[514] \otimes \nu 7/2[633]$  ([1988Ch27](#)).

<sup>b</sup> Band(D):  $K^\pi=14^-$  band. Configuration= $\nu 7/2[514] \otimes \nu 9/2[624] \otimes \pi 9/2[514] \otimes \pi 3/2[532]$  ([1988Ch27](#)).

<sup>c</sup> Band(E):  $K^\pi=8^-$  band. Configuration= $\nu 7/2[514] \otimes \nu 9/2[624]$  ([1988Ch27](#)).

<sup>d</sup> Band(F):  $\Delta J=2$  sequence.

<sup>e</sup> Band(G):  $\Delta J=2$  sequence.

<sup>f</sup> Band(H):  $\Delta J=2$  sequence.

<sup>g</sup> Band(I):  $\Delta J=2$  sequence.

<sup>h</sup> Band(J): Band built on  $K^\pi=25^+, \alpha=1$ . Band from [2003Pa39](#).

<sup>i</sup> Band(j): Band built on  $K^\pi=25^+, \alpha=0$ . Band from [2003Pa39](#).

<sup>150</sup>Nd(<sup>36</sup>S,4n $\gamma$ ):delayed  $\gamma$     1988Ch27,2003Pa39 (continued) $\gamma(^{182}\text{Os})$ 

Iy normalization: the level scheme of the isomer decay is incomplete. There is a large intensity imbalance in the excitation region of 2 to 4 MeV.

E $_{\gamma}^{\dagger}$	I $_{\gamma}^{\ddagger}$	E $_i$ (level)	J $_{i}^{\pi}$	E $_f$	J $_{f}^{\pi}$	Mult.	$\alpha^f$	I $_{(\gamma+ce)}$	Comments
127.1 2	36#	127.1	2 $^{+}$	0.0	0 $^{+}$	E2@	1.69	97	
133.0 5	<1	2245.5	9 $^{+}$	2112.4	8 $^{+}$				
148.9 5	<1	7049.1	25 $^{(+)}$	6900.3	24				
152.0 5	1	2526.1	11 $^{+}$	2374.6	10 $^{+}$				
159.3 2	3	4369.8	16 $^{(+)}$	4210.5	15 $^{(-)}$	(E1) <sup>a&amp;b</sup>	0.1183		Mult.: from intensity balance at 4370 level (in $\gamma\gamma$ data), $\alpha(\exp)(159\gamma)=0.26$ for mult(312 $\gamma$ )=E2 and $\alpha(\exp)(159\gamma)=0.43$ for mult(312 $\gamma$ )=M1.
<sup>x</sup> 174.5 5	1								
181.5 5	1	2013.1	9 $^{-}$	1831.6	8 $^{-}$				
187.5 2	9	7049.1	25 $^{(+)}$	6861.6	24 $^{(+)}$	(M1+E2) <sup>a&amp;b</sup>			
<sup>x</sup> 191.2 5	1								
198.1 5	2	2869.3	13 $^{+}$	2671.7	12 $^{+}$				
205.3 2	11	5982.9	21 $^{(+)}$	5777.6	20 $^{(+)}$	(M1+E2) <sup>a&amp;b</sup>			
206.1 5	<1	2219.2	10 $^{-}$	2013.1	9 $^{-}$				
<sup>x</sup> 212.4 5	1								
<sup>x</sup> 214.1 2	3								
229.0 5	<1	2448.1	11 $^{-}$	2219.2	10 $^{-}$				
230.0 5	<1	3303.6	15 $^{+}$	3072.6	14 $^{+}$				
<sup>x</sup> 232.0 2	4								
241.6 2	3	4210.5	15 $^{(-)}$	3968.9	14 $^{(-)}$				
<sup>x</sup> 246.5 2	4								
251.1 5	1	2699.2	12 $^{-}$	2448.1	11 $^{-}$				
253 <sup>e</sup>		11560	36 $^{+}$	11307	35 $^{+}$				
<sup>x</sup> 254.8 5	2								
259.4 5	<1	4425.3	17 $^{(+)}$	4166.0	16 $^{+}$				
262.0 2	19	6543.4	23 $^{(+)}$	6281.4	22 $^{(+)}$	(M1+E2) <sup>a&amp;b</sup>	0.26	12	
<sup>x</sup> 268.4 5	1								
270 <sup>e</sup>		10780	34 $^{+}$	10509	33 $^{+}$				
273 <sup>eg</sup>		12371	(38 $^{+}$ )	12098	(37 $^{+}$ )				
273.1 2	83#	400.2	4 $^{+}$	127.1	2 $^{+}$	E2@	0.1214	93	
280.6 2	3	2526.1	11 $^{+}$	2245.5	9 $^{+}$				
287.8 5	2	4712.9	18 $^{(+)}$	4425.3	17 $^{(+)}$				
<sup>x</sup> 292.0 5	4								
292.0 2	6	5777.6	20 $^{(+)}$	5485.5	19				
298.5 2	17	6281.4	22 $^{(+)}$	5982.9	21 $^{(+)}$	(M1+E2) <sup>a&amp;b</sup>	0.18	9	
301.2 2	3	5180.3	18	4879.1	17 $^{(-)}$				

<sup>150</sup>Nd(<sup>36</sup>S,4n $\gamma$ ):delayed  $\gamma$     1988Ch27,2003Pa39 (continued) $\gamma$ (<sup>182</sup>Os) (continued)

E $_{\gamma}^{\dagger}$	I $_{\gamma}^{\ddagger}$	E $_i$ (level)	J $^{\pi}_i$	E $_f$	J $^{\pi}_f$	Mult.	$\alpha^f$	I $_{(\gamma+ce)}$
302.1 2	4	5062.9	19	4760.8	18			
305.0 5	2	4515.8	16 <sup>(-)</sup>	4210.5	15 <sup>(-)</sup>			
305.0 5	2	5485.5	19	5180.3	18			
311.0 5	<1	5024.0	19 <sup>(+)</sup>	4712.9	18 <sup>(+)</sup>			
312.3 2	10	4682.1	17 <sup>(+)</sup>	4369.8	16 <sup>(+)</sup>			
318.2 2	3	6861.6	24 <sup>(+)</sup>	6543.4	23 <sup>(+)</sup>			
322.8 5	<20 <sup>d</sup>	5004.8	18 <sup>(+)</sup>	4682.1	17 <sup>(+)</sup>			
323.7 5	<20 <sup>d</sup>	4760.8	18	4437.0	17			
325.3 5	<20 <sup>d</sup>	3968.9	14 <sup>(-)</sup>	3643.6	(13 <sup>-</sup> )			
327.6 5	<20 <sup>d</sup>	5332.4	19 <sup>(+)</sup>	5004.8	18 <sup>(+)</sup>			
x328.4 5	<20 <sup>d</sup>							
334.0 5	<1	5357.8	20 <sup>(+)</sup>	5024.0	19 <sup>(+)</sup>			
343 <sup>e</sup>		9939	32 <sup>+</sup>	9596	31 <sup>+</sup>			
343.3 2	8	2869.3	13 <sup>+</sup>	2526.1	11 <sup>+</sup>			
353 <sup>e</sup>		8699	29 <sup>+</sup>	8346	28 <sup>+</sup>			
355.6 5	2	5713.2	21 <sup>(+)</sup>	5357.8	20 <sup>(+)</sup>			
x361.5 2	3							
363.0 5	<1	4879.1	17 <sup>(-)</sup>	4515.8	16 <sup>(-)</sup>			
x367.1 5	2							
x373.6 5	2							
375.0 5	<1	6088.3	22 <sup>(+)</sup>	5713.2	21 <sup>(+)</sup>			
x387.0 5	2							
387.5 5	<1	2219.2	10 <sup>-</sup>	1831.6	8 <sup>-</sup>			
393.8 2	101 <sup>#</sup>	794.0	6 <sup>+</sup>	400.2	4 <sup>+</sup>	E2@	0.0422	105
400.1 5	2	3072.6	14 <sup>+</sup>	2671.7	12 <sup>+</sup>			
404 <sup>e</sup>		9103	30 <sup>+</sup>	8699	29 <sup>+</sup>			
x414.0 5	1							
x417.6 5	2							
421 <sup>e</sup>		8346	28 <sup>+</sup>	7925	27 <sup>+</sup>			
x421.9 5	2							
x428.6 5	1							
434.4 2	12	3303.6	15 <sup>+</sup>	2869.3	13 <sup>+</sup>			
435.0 5	<1	2448.1	11 <sup>-</sup>	2013.1	9 <sup>-</sup>			
436 <sup>e</sup>		7485	26 <sup>+</sup>	7049.1	25 <sup>(+)</sup>			
x440.0 2	3							
440 <sup>e</sup>		7925	27 <sup>+</sup>	7485	26 <sup>+</sup>			
x443.0 5	1							
x447.8 5	1							
450.6 5	2	3290.8	14 <sup>+</sup>	2840.3	14 <sup>+</sup>			
x455.0 5	2							
479.5 2	25	3319.7	16 <sup>+</sup>	2840.3	14 <sup>+</sup>			

$^{150}\text{Nd}(\text{S},\text{4n}\gamma)$ :delayed  $\gamma$     1988Ch27,2003Pa39 (continued)

 $\gamma(^{182}\text{Os})$  (continued)

$E_\gamma^\dagger$	$I_\gamma^\ddagger$	$E_i(\text{level})$	$J_i^\pi$	$E_f$	$J_f^\pi$	Mult.	$E_\gamma^\dagger$	$I_\gamma^\ddagger$	$E_i(\text{level})$	$J_i^\pi$	$E_f$	$J_f^\pi$	Mult.
480.0 5	<1	2699.2	12 <sup>-</sup>	2219.2	10 <sup>-</sup>		650.5 2	9	5982.9	21 <sup>(+)</sup>	5332.4	19 <sup>(+)</sup>	Q <sup>ab</sup>
483.7 2	104	1277.7	8 <sup>+</sup>	794.0	6 <sup>+</sup>		657.6 2	3	4274.8	18 <sup>+</sup>	3617.2	16 <sup>+</sup>	
493 <sup>e</sup>		9596	31 <sup>+</sup>	9103	30 <sup>+</sup>		<sup>x</sup> 660.8 5	1					
494.5 2	54	2840.3	14 <sup>+</sup>	2345.7	12 <sup>+</sup>		668.6 5	<1	4879.1	17 <sup>(-)</sup>	4210.5	15 <sup>(-)</sup>	
495.8 2	3	4425.3	17 <sup>(+)</sup>	3929.5	15 <sup>(+)</sup>	Q <sup>ab</sup>	673.6 2	4	5142.1	20 <sup>+</sup>	4468.5	18 <sup>+</sup>	
505.6 2	35	7049.1	25 <sup>(+)</sup>	6543.4	23 <sup>(+)</sup>	Q <sup>ab</sup>	689.1 2	14	5713.2	21 <sup>(+)</sup>	5024.0	19 <sup>(+)</sup>	Q <sup>ab</sup>
509.9 5	2	4425.3	17 <sup>(+)</sup>	3915.3	15 <sup>(+)</sup>		<sup>x</sup> 693.6 5	2					
<sup>x</sup> 512.6 5	1						<sup>x</sup> 703.4 2	3					
<sup>x</sup> 518.3 5	2						712.0 2	4	5192.0	22 <sup>+</sup>	4480.0	20 <sup>+</sup>	
523.0 5	1	2971.1	13 <sup>-</sup>	2448.1	11 <sup>-</sup>		726.9 2	29	7049.1	25 <sup>(+)</sup>	6322.2	23	
527 <sup>e</sup>		11307	35 <sup>+</sup>	10780	34 <sup>+</sup>		727.0 5	<1	3072.6	14 <sup>+</sup>	2345.7	12 <sup>+</sup>	
534.0 2	89	1811.7	10 <sup>+</sup>	1277.7	8 <sup>+</sup>	Q <sup>ab</sup>	729.0 5	<1	5204.7	21 <sup>+</sup>	4475.7	19 <sup>+</sup>	
534.0 2	75	2345.7	12 <sup>+</sup>	1811.7	10 <sup>+</sup>	Q <sup>ab</sup>	730.5 2	10	6088.3	22 <sup>(+)</sup>	5357.8	20 <sup>(+)</sup>	
536.5 5	<1	3840.1	17 <sup>+</sup>	3303.6	15 <sup>+</sup>		749.1 2	5	5023.9	20 <sup>+</sup>	4274.8	18 <sup>+</sup>	
537.0 2	17	3856.7	18 <sup>+</sup>	3319.7	16 <sup>+</sup>		<sup>x</sup> 754.1 5	2					
538 <sup>eg</sup>		12098	(37 <sup>+</sup> )	11560	36 <sup>+</sup>		<sup>x</sup> 755.9 5	<1					
544.6 2	5	3617.2	16 <sup>+</sup>	3072.6	14 <sup>+</sup>		757 <sup>e</sup>		9103	30 <sup>+</sup>	8346	28 <sup>+</sup>	
546.8 2	12	4712.9	18 <sup>(+)</sup>	4166.0	16 <sup>+</sup>		<sup>x</sup> 758.2 5	1					
547.0 5	<1	4515.8	16 <sup>(-)</sup>	3968.9	14 <sup>(-)</sup>		<sup>x</sup> 763.3 5	1					
555.7 2	5	4712.9	18 <sup>(+)</sup>	4157.1	16 <sup>(+)</sup>		770.2 2	5	6483.2	23 <sup>(+)</sup>	5713.2	21 <sup>(+)</sup>	
560.2 5	2	3850.9	16 <sup>+</sup>	3290.8	14 <sup>+</sup>		773.3 2	9	6861.6	24 <sup>(+)</sup>	6088.3	22 <sup>(+)</sup>	
566.0 2	8	7049.1	25 <sup>(+)</sup>	6483.2	23 <sup>(+)</sup>		774 <sup>e</sup>		8699	29 <sup>+</sup>	7925	27 <sup>+</sup>	
<sup>x</sup> 568.9 2	3						776.9 2	4	3617.2	16 <sup>+</sup>	2840.3	14 <sup>+</sup>	
570 <sup>e</sup>		10509	33 <sup>+</sup>	9939	32 <sup>+</sup>		<sup>x</sup> 777.9 5	<1					
<sup>x</sup> 577.9 5	1						<sup>x</sup> 779.4 5	<1					
<sup>x</sup> 585.6 5	1						780 <sup>e</sup>		11560	36 <sup>+</sup>	10780	34 <sup>+</sup>	
<sup>x</sup> 590.3 5	2						<sup>x</sup> 783.1 5	<1					
598.8 2	13	5024.0	19 <sup>(+)</sup>	4425.3	17 <sup>(+)</sup>	Q <sup>ab</sup>	786.0 5	<1	5809.9	22 <sup>+</sup>	5023.9	20 <sup>+</sup>	
<sup>x</sup> 602.9 5	2						<sup>x</sup> 787.2 5	<1					
611.3 2	10	5674.2	21	5062.9	19		<sup>x</sup> 790.8 5	<1					
617.6 2	5	4468.5	18 <sup>+</sup>	3850.9	16 <sup>+</sup>		791 <sup>e</sup>		12098	(37 <sup>+</sup> )	11307	35 <sup>+</sup>	
623.2 2	7	4480.0	20 <sup>+</sup>	3856.7	18 <sup>+</sup>		795.6 5	2	5987.5	24 <sup>+</sup>	5192.0	22 <sup>+</sup>	
626.0 2	4	5062.9	19	4437.0	17		<sup>x</sup> 797.9 5	2					
<sup>x</sup> 630.6 5	1						798 <sup>e</sup>		11307	35 <sup>+</sup>	10509	33 <sup>+</sup>	
<sup>x</sup> 633.6 2	3						<sup>x</sup> 807.7 5	1					
635.0 5	<6 <sup>c</sup>	5004.8	18 <sup>(+)</sup>	4369.8	16 <sup>(+)</sup>		811 <sup>e</sup>		12371	(38 <sup>+</sup> )	11560	36 <sup>+</sup>	
635.5 5	<6 <sup>c</sup>	5777.6	20 <sup>(+)</sup>	5142.1	20 <sup>+</sup>		812.0 5	2	6016.7	23 <sup>+</sup>	5204.7	21 <sup>+</sup>	
635.6 5	<6 <sup>c</sup>	4475.7	19 <sup>+</sup>	3840.1	17 <sup>+</sup>		812.2 5	2	6900.3	24	6088.3	22 <sup>(+)</sup>	
644.9 2	12	5357.8	20 <sup>(+)</sup>	4712.9	18 <sup>(+)</sup>		<sup>x</sup> 818.3 5	1					
648.0 2	14	6322.2	23	5674.2	21		<sup>x</sup> 828.2 5	<1					
650.5 5	1	5332.4	19 <sup>(+)</sup>	4682.1	17 <sup>(+)</sup>		830.1 2	9	6543.4	23 <sup>(+)</sup>	5713.2	21 <sup>(+)</sup>	Q <sup>ab</sup>

$^{150}\text{Nd}(\text{<sup>36</sup>S},4\text{n}\gamma)$ :delayed  $\gamma$     1988Ch27,2003Pa39 (continued)

$\gamma(^{182}\text{Os})$  (continued)

$E_\gamma^{\dagger}$	$I_\gamma^{\ddagger}$	$E_i(\text{level})$	$J_i^\pi$	$E_f$	$J_f^\pi$	
$^{x}835.5$	5					
	2					
837 <sup>e</sup>		9939	32 <sup>+</sup>	9103	30 <sup>+</sup>	
841 <sup>e</sup>		10780	34 <sup>+</sup>	9939	32 <sup>+</sup>	
$^{x}841.8$	5					
	1					
$^{x}847.0$	5					
	2					
$^{x}852.3$	5					
	1					
$^{x}856.9$	5					
	2					
859.9	2	2671.7	12 <sup>+</sup>	1811.7	10 <sup>+</sup>	
861 <sup>e</sup>		8346	28 <sup>+</sup>	7485	26 <sup>+</sup>	
$^{x}863.1$	5					
	1					
$^{x}867.8$	5					
	1					
$^{x}875.6$	5					
	1					
876 <sup>e</sup>		7925	27 <sup>+</sup>	7049.1	25 <sup>(+)</sup>	
$^{x}880.9$	5					
	1					
$^{x}886.1$	5					
	1					
$^{x}891.8$	5					
	1					
896 <sup>e</sup>		9596	31 <sup>+</sup>	8699	29 <sup>+</sup>	
$^{x}897.0$	5					
	2					
$^{x}899.9$	5	<1				
$^{x}903.4$	5	1				
$^{x}913.6$	5	1				
914 <sup>e</sup>		10509	33 <sup>+</sup>	9596	31 <sup>+</sup>	
$^{x}918.3$	5	<1				
$^{x}921.6$	5	1				
$^{x}924.8$	5	1				
$^{x}927.9$	5	1				
$^{x}933.6$	5	1				
$^{x}940.1$	5	1				
$^{x}944.9$	5	2				
$^{x}950.9$	5	1				
955.2	5	<1	4274.8	18 <sup>+</sup>	3319.7	16 <sup>+</sup>
$^{x}957.6$	5	1				
$^{x}962.8$	5	1				
$^{x}966.0$	5	1				
$^{x}971.4$	5	1				
$^{x}974.9$	5	1				
$^{x}981.5$	5	1				
$^{x}985.8$	5	1				
$^{x}990.6$	5	2				
$^{x}994.8$	5	<1				
$^{x}999.5$	5	1				
$^{x}1007.0$	5	<1				
$^{x}1014.9$	5	1				

$^{150}\text{Nd}(\beta^-, 4\text{n})$ : delayed  $\gamma$     1988Ch27, 2003Pa39 (continued)

$\gamma(^{182}\text{Os})$  (continued)

$E_\gamma^\dagger$	$I_\gamma^\ddagger$	$E_i(\text{level})$	$J_i^\pi$	$E_f$	$J_f^\pi$	Mult.	$\delta$	$\alpha^f$
$x1017.3$	5	<1						
$x1026.5$	5	<1						
$x1039.1$	5	1						
$x1045.9$	5	1						
$x1054.4$	5	<1						
$x1058.6$	5	1						
1061.6	5	2	7049.1	25 <sup>(+)</sup>	5987.5 24 <sup>+</sup>	(M1+E2) <sup><i>ab</i></sup>	-1.9 +9-12	0.0056 15
$x1067.2$	5	1						
1075.0	5	2	3915.3	15 <sup>(+)</sup>	2840.3 14 <sup>+</sup>			
$x1084.6$	5	1						
1089.3	2	5	3929.5	15 <sup>(+)</sup>	2840.3 14 <sup>+</sup>	(M1+E2) <sup><i>ab</i></sup>	-1.0 +3-6	0.0066 11
1097.0	2	3	2374.6	10 <sup>+</sup>	1277.7 8 <sup>+</sup>			
$x1099.6$	5	1						
$x1111.6$	5	1						
1117.3	5	2	4437.0	17	3319.7 16 <sup>+</sup>			
$x1124.2$	5	2						
$x1127.8$	5	1						
1130.2	5	1	6322.2	23	5192.0 22 <sup>+</sup>			
$x1136.2$	5	1						
$x1139.4$	5	1						
$x1141.9$	5	1						
1195.5	5	<1	3643.6	(13 <sup>-</sup> )	2448.1 11 <sup>-</sup>			
$x1211.7$	5	1						
$x1226.2$	5	1						
$x1232.8$	5	2						
$x1254.1$	5	1						
$x1283.8$	5	1						
$x1303.2$	5	<1						
1316.8	5	1	4157.1	16 <sup>(+)</sup>	2840.3 14 <sup>+</sup>			
1318.4	5	<1	2112.4	8 <sup>+</sup>	794.0 6 <sup>+</sup>			
1325.7	2	4	4166.0	16 <sup>+</sup>	2840.3 14 <sup>+</sup>	Q <sup><i>ab</i></sup>		
$x1342.5$	5	<1						
$x1359.1$	5	1						
$x1498.5$	5	<1						
1529.5	5	<1	4369.8	16 <sup>(+)</sup>	2840.3 14 <sup>+</sup>			

<sup>†</sup> 0.5-keV uncertainty assigned (evaluators) for  $I\gamma \leq 2$ , based on statement by 1988Ch27 that it is 0.5 keV for weak and unresolved lines. Values are from 1988Ch27, unless otherwise stated.

<sup>‡</sup> Values are from 1988Ch27, unless otherwise stated.

<sup>#</sup> From  $I(\gamma+\text{ce})$  and  $\alpha$ .

$^{150}\text{Nd}({}^{36}\text{S},4\text{n}\gamma)\text{:delayed } \gamma$     1988Ch27,2003Pa39 (continued) $\gamma({}^{182}\text{Os})$  (continued)

<sup>a</sup> From Adopted Gammas.

<sup>&</sup> DCO ratio consistent with  $\Delta J=1$  transition with a significant  $\delta(Q/D)$  value suggest M1+E2.

<sup>a</sup> DCO ratio consistent with  $\Delta J=2$  (E2) transition.

<sup>b</sup> Angular correlation data are displayed in figure 5 of 1988Ch27.

<sup>c</sup>  $I\gamma(635.0\gamma+635.5\gamma+635.6\gamma)=6$ .

<sup>d</sup>  $I\gamma(322.8\gamma+323.7\gamma+325.3\gamma+327.6\gamma+328.4\gamma)=20$ .

<sup>e</sup> From 2003Pa39.

<sup>f</sup> Total theoretical internal conversion coefficients, calculated using the BrIcc code (2008Ki07) with Frozen orbital approximation based on  $\gamma$ -ray energies, assigned multipolarities, and mixing ratios, unless otherwise specified.

<sup>g</sup> Placement of transition in the level scheme is uncertain.

<sup>x</sup>  $\gamma$  ray not placed in level scheme.

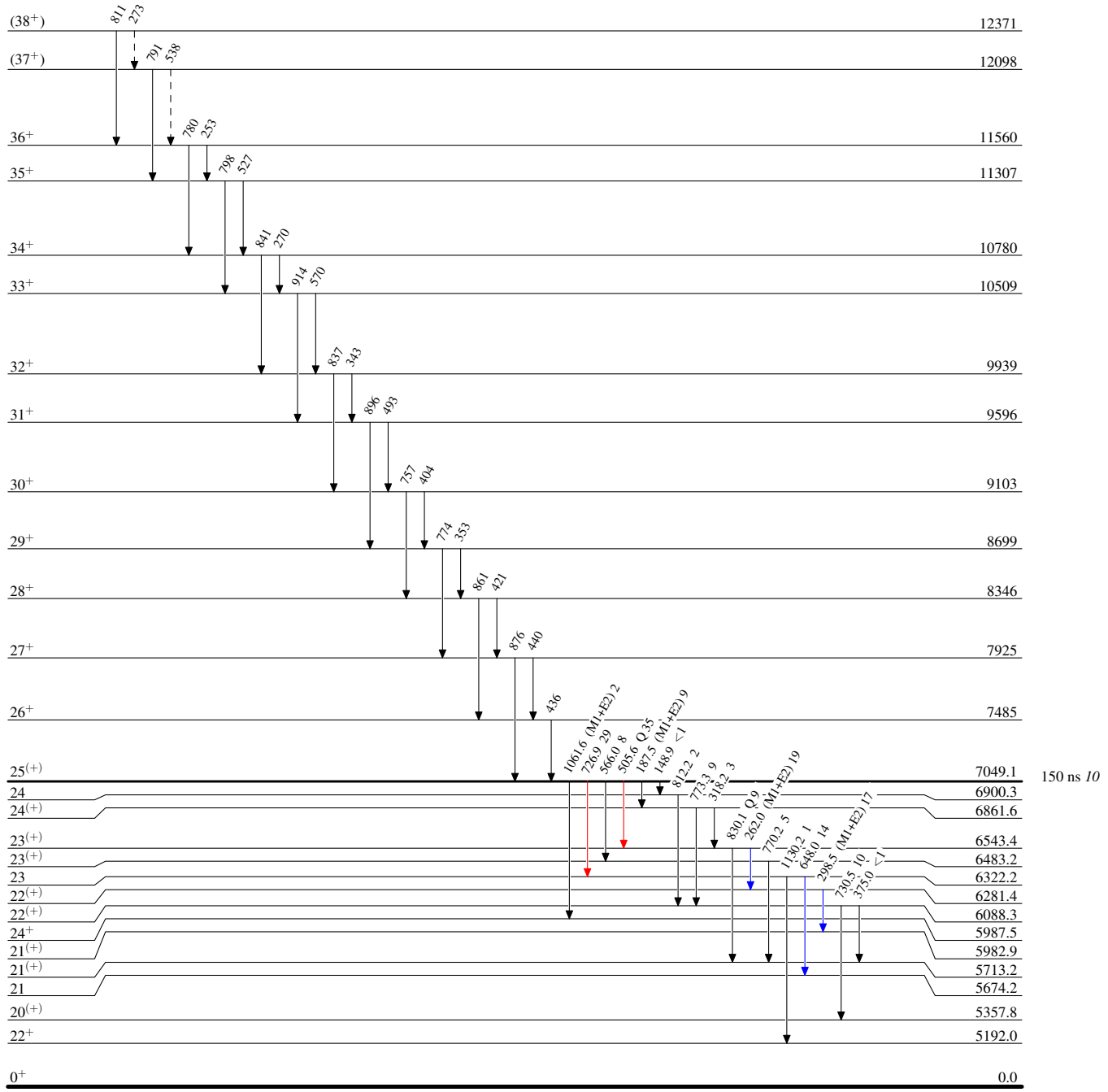
$^{150}\text{Nd}(\text{S},4\gamma)\text{delayed } \gamma \quad 1988\text{Ch27,2003Pa39}$ 

Legend

## Level Scheme

Intensities: Relative  $I_\gamma$ 

- $I_\gamma < 2\% \times I_{\gamma}^{\max}$
- $I_\gamma < 10\% \times I_{\gamma}^{\max}$
- $I_\gamma > 10\% \times I_{\gamma}^{\max}$
- - - - →  $\gamma$  Decay (Uncertain)



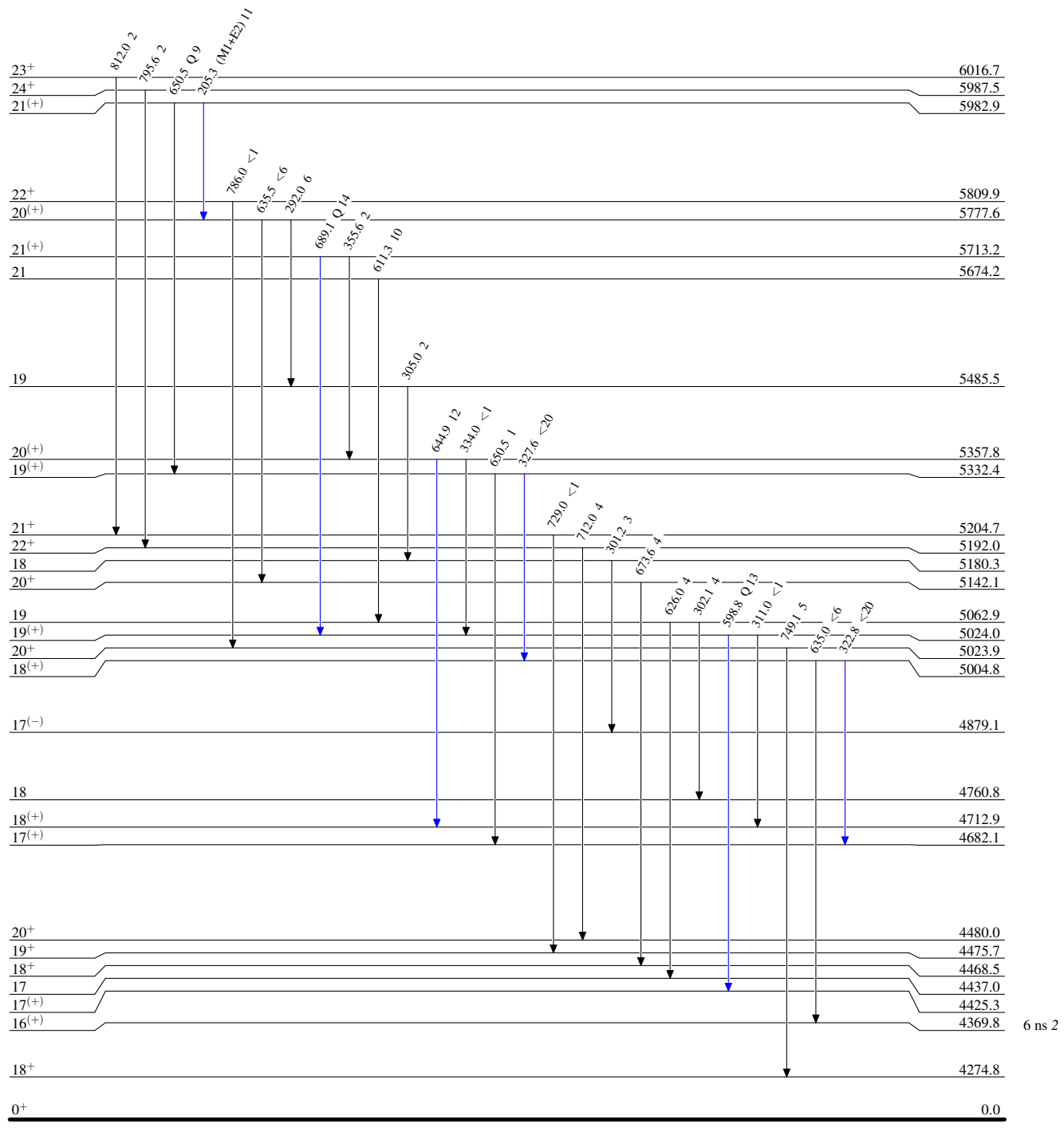
$^{150}\text{Nd}(^{36}\text{S},4\text{n}\gamma)\text{delayed } \gamma \quad 1988\text{Ch27,2003Pa39}$ 

## Level Scheme (continued)

Intensities: Relative  $I_\gamma$ 

## Legend

- $I_\gamma < 2\% \times I_\gamma^{\max}$
- $I_\gamma < 10\% \times I_\gamma^{\max}$
- $I_\gamma > 10\% \times I_\gamma^{\max}$



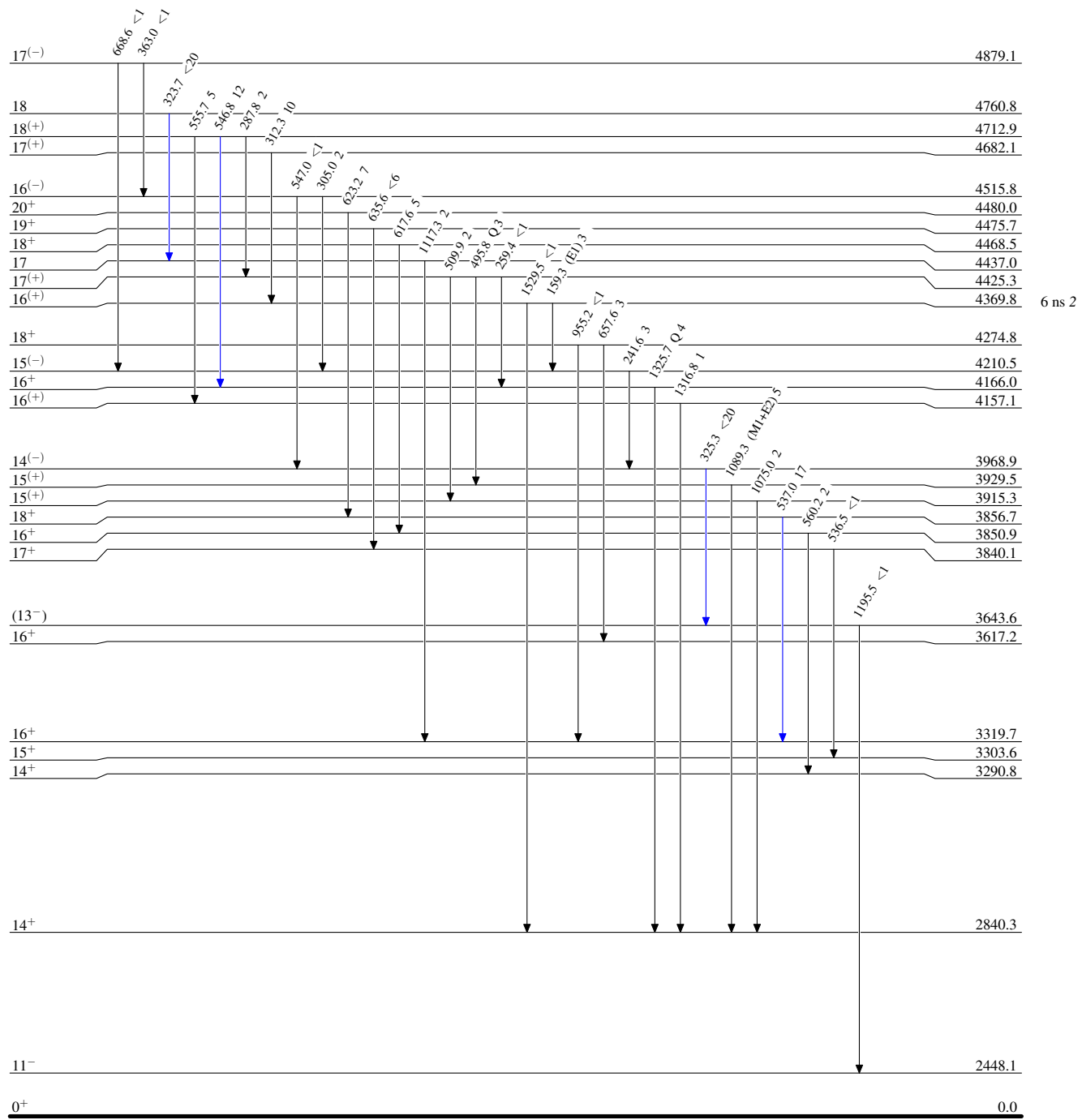
$^{150}\text{Nd}(\text{S},4n\gamma)\text{:delayed } \gamma \quad 1988\text{Ch27,2003Pa39}$ 

## Legend

## Level Scheme (continued)

Intensities: Relative  $I_\gamma$ 

- $I_\gamma < 2\% \times I_{\gamma}^{\max}$
- $I_\gamma < 10\% \times I_{\gamma}^{\max}$
- $I_\gamma > 10\% \times I_{\gamma}^{\max}$



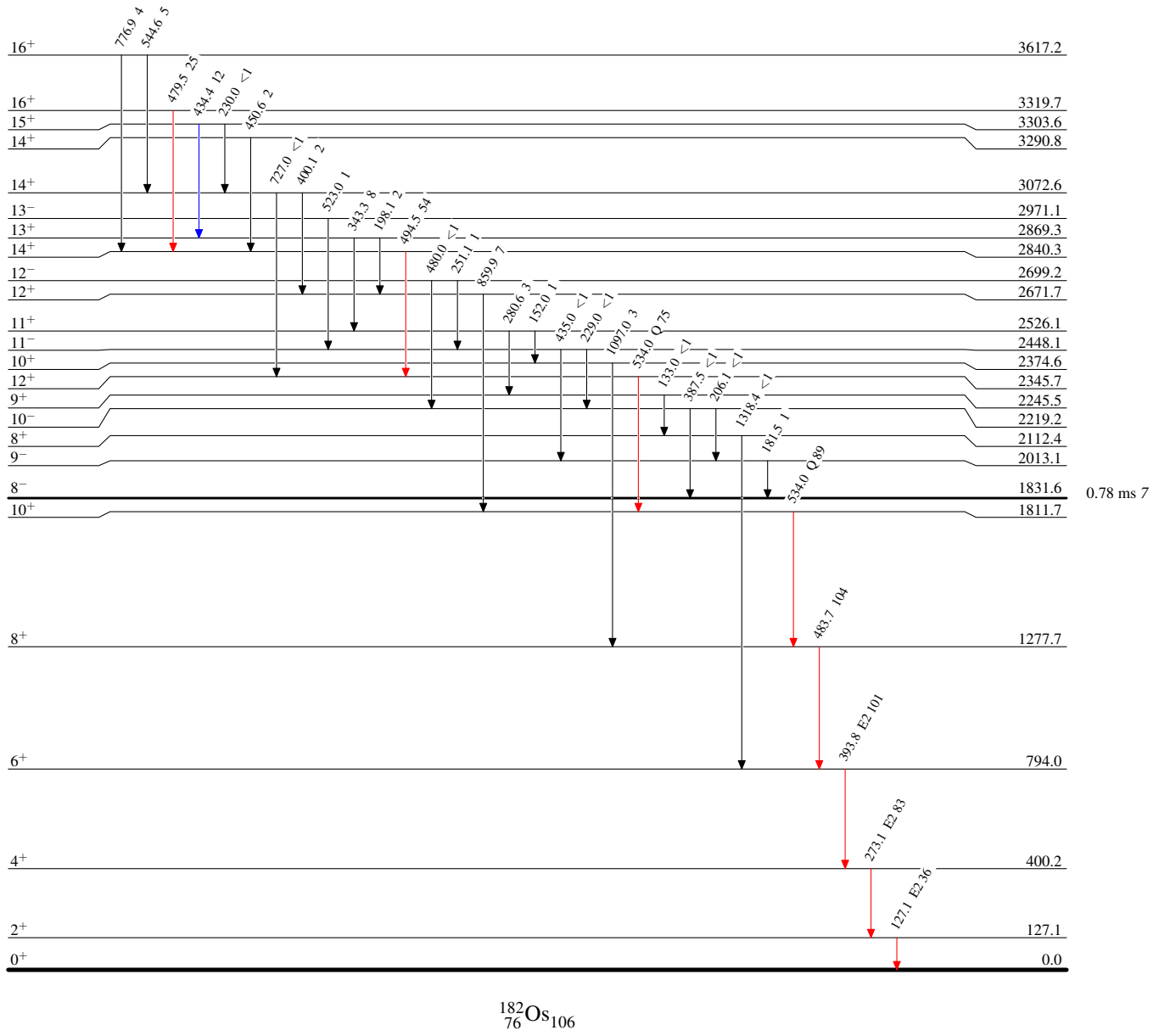
$^{150}\text{Nd}(\gamma, \gamma)$ : delayed  $\gamma$     1988Ch27, 2003Pa39

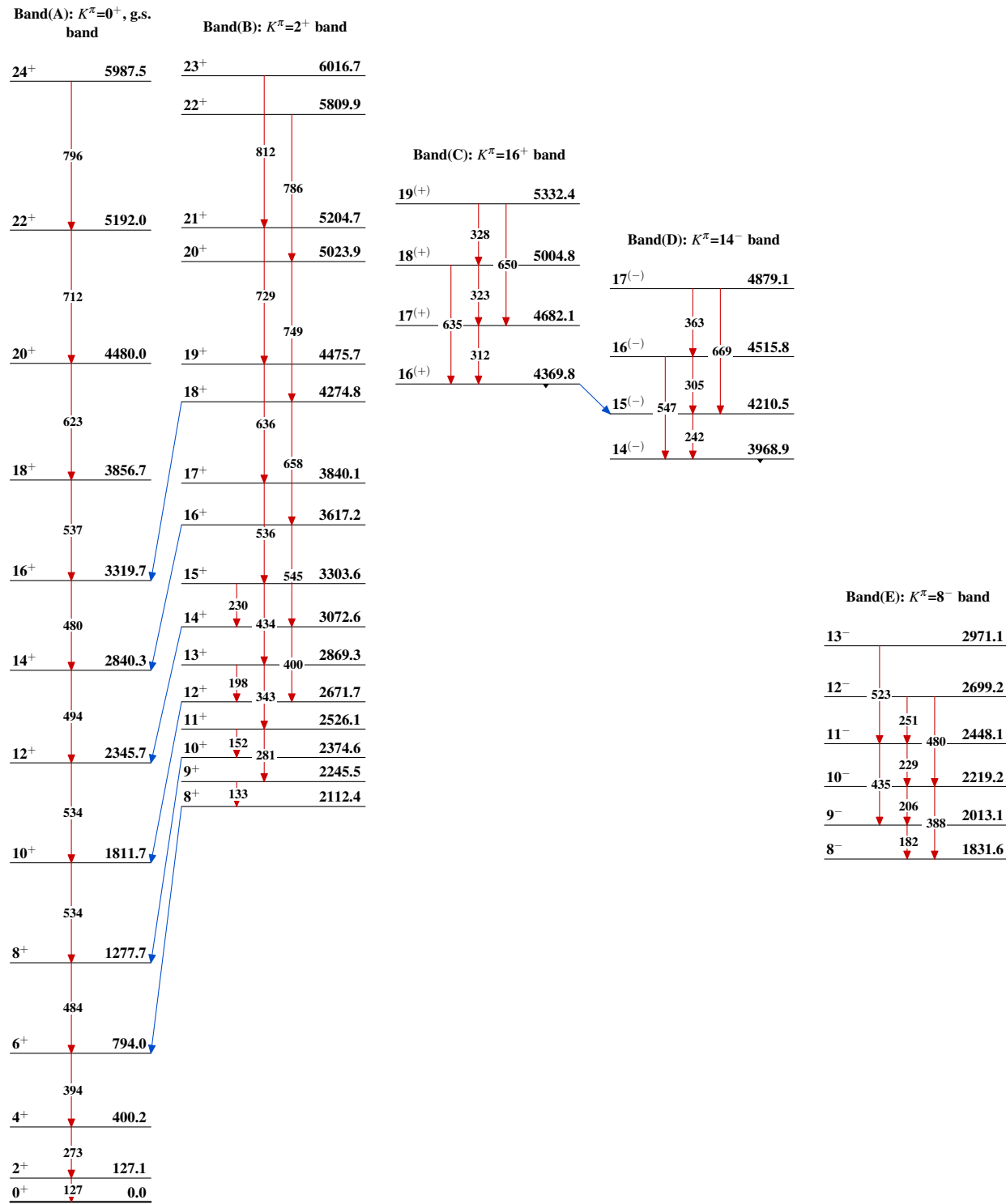
Legend

## Level Scheme (continued)

Intensities: Relative  $I_\gamma$ 

- $I_\gamma < 2\% \times I_{\gamma}^{\max}$
- $I_\gamma < 10\% \times I_{\gamma}^{\max}$
- $I_\gamma > 10\% \times I_{\gamma}^{\max}$



$^{150}\text{Nd}(\text{S},\text{4n}\gamma)\text{:delayed } \gamma \quad 1988\text{Ch27,2003Pa39}$ 

$^{150}\text{Nd}(^{36}\text{S},4n\gamma)\text{delayed } \gamma$     1988Ch27,2003Pa39 (continued)